

GDZIE JEST GRANICA SMUKŁOŚCI SPRĘŻONYCH PŁYT STROPOWYCH ? O PROJEKCIE I BADANIACH STROPÓW SPRĘŻONYCH W BUDYNKU CENTRUM KULTURALNO-ARTYSTYCZNEGO W KOZIENICACH

Rafał Szydłowski¹, Małgorzata Mieszczak²

Politechnika Krakowska

Streszczenie. W realizowanym aktualnie budynku Centrum Kulturalno-Artystycznego w Kozienicach autorzy pracy zaprojektowali sprężone jednokierunkowo przęsła stropu o rozpiętości 11,15 m i grubości 0,20 m oraz dwa przęsła stropodachu: jednokierunkowo sprężone o rozpiętości 12,86 m i grubości 0,25 m oraz dwukierunkowo sprężone o rozpiętości 17,65×19,6 m. Wszystkie 3 płyty oparte są na ścianach, ich stosunek rozpiętości do grubości znacznie przekracza zalecane w literaturze wartości i wynosi odpowiednio: 55,8; 51,4 i 50,4. W trakcie realizacji budynku prowadzony jest ciągły monitoring ugięć wszystkich płyt oraz odkształceń i temperatury jednej z nich. Wykonano ponadto badania laboratoryjne betonu pobranego podczas betonowania. W pracy przedstawiono założenia projektowe, działające obciążenia, wyniki przeprowadzonej analizy obliczeniowej (momentów zginających, ugięć i naprężeń) w poszczególnych etapach realizacji dla trzech płyt sprężonych. Na tle wyników analizy obliczeniowej przedstawiono ponadto wyniki pomiarów prowadzonych ugięć płyt wraz z komentarzem i wnioskami.

Słowa kluczowe: badania stropów, ciągnie bez przyczepności, strop sprężony, ugięcia stropów.

1. Wprowadzenie

Płyty dużych rozpiętości z betonu sprężonego znalazły zastosowanie jako stropy w budynkach wiele lat temu w USA, Australii, Hong Kongu, Singapurze a w późniejszym okresie w Europie. W Polsce ich rozkwit datowany jest na ostatnie dziesięciolecie. Na przestrzeni kilku dekad wydano wiele wytycznych i zaleceń dotyczących projektowania i konstruowania takich konstrukcji. W Europie opublikowano prace [4], [6], [7] i [8]. W Polsce tymczasem w ostatnim dziesięcioleciu opublikowano kilka prac dotyczących projektowania i realizacji stropów sprężonych [1], [5], [11], [14].

Opublikowane wytyczne podają zalecane wartości stosunku rozpiętości do grubości płyty uzależniając ją od typu konstrukcji, obciążenia i dopuszczalnego ugięcia. Przykładowo, wg pracy [4], dla pełnych płyt ciągłych o dwóch lub więcej przęsłach w każdym kierunku stosunek ten generalnie nie powinien przekraczać wartości 42 dla płyt stropowych i 48 dla stropodachów. Khan i Williams [10] wychodząc z warunku braku rys w przekroju, na podstawie przeprowadzonych obliczeń podają wymagane grubości dla różnych poziomów obciążenia (tablica 1).

Jednym z głównych czynników determinujących grubość płyty jest jej ugięcie. W tablicy 2 zamieszczono dopuszczalne ugięcia płyt zgodnie z wytycznymi wybranych norm.

¹ dr inż., rszydowski@op.pl

² mgr inż., gosia_mieszczak@wp.pl

Tablica 2 Graniczne ugięcia płyt wg wybranych wytycznych normowych

Typ elementu	Wartość graniczna	Uwagi
PN EN 1992-1-1 [13]	L/250 L/500	Ugięcie pod działaniem obciążeń quasi-stałych Ugięcie pod działaniem obc. quasi-stałych powstałe po ukończeniu konstrukcji
PN-B-03264 [12]	L/200 dla $L \leq 6,0$ m 30 mm dla $6,0 < L < 7,5$ m L/250 dla $L > 7,5$ m	Ugięcie pod działaniem obciążeń długotrwałych
ACI318 [1]	L/180 L/360 L/480 L/240	Ugięcie krótkotrwałe pod całkowitym obciążeniem Ugięcie występujące po instalacji elementów wykończenia
BS8110 [3]	L/250 mniejsza z wartości L/500 i 20 mm mniejsza z wartości L/350 i 20 mm	Ugięcie całkowite Ugięcie występujące po instalacji elementów wykończenia

Autorzy referatu w realizowanym w latach 2014-15 budynku użyteczności publicznej zaprojektowali 3 jednoprzęsłowe płyty sprężone cięgnami bez przyczepności (2 przęsła sprężone w jednym kierunku, trzecie w dwóch kierunkach). Stosunek rozpiętość-grubość każdej z płyt przekracza wartość 50. Wszystkie płyty zostały wykonane w okresie lipiec-sierpień 2014 r. W dalszych punktach zostanie przedstawiona geometria budynku, charakterystyka płyt sprężonych, obliczenia modelowe, prognozowane naprężenia i ugięcia oraz wyniki pomiarów ugięć w trakcie realizacji.

2. Geometria budynku, charakterystyka stropów sprężonych

2.1 Ogólna charakterystyka budynku

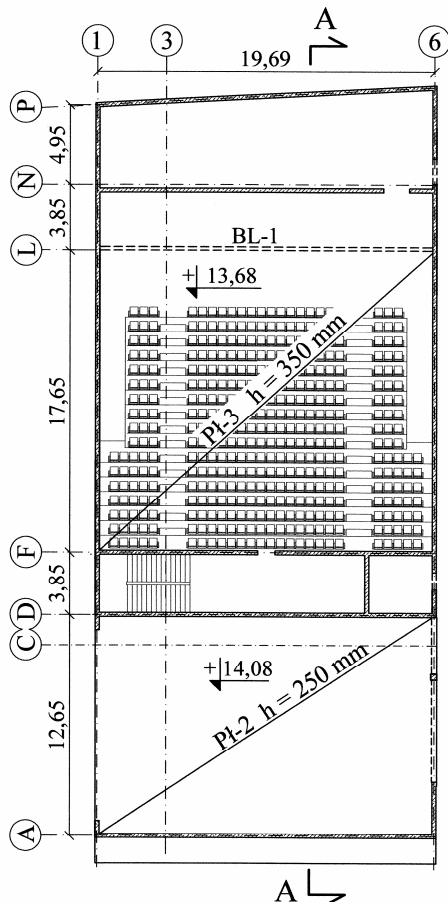
Budynek Centrum Kulturalno-Artystycznego w Koziencicach (rys. 1) został zaprojektowany w 2013 roku przez Pracownię Projektową *f-11* (architekt: dr inż. arch. Marcin Furtak), budowę rozpoczęto pod koniec 2013 a termin ukończenia wyznaczono na sierpień 2015 r. Budynek łączy funkcję kulturalno-artystyczne (przewidziano m. in. salę kinową, teatralną, bibliotekę) z dydaktycznymi (sale do zajęć tanecznych, sale dydaktyczne). Na rzucie prostokąta o wymiarach 61,5×42,5 m zaprojektowano 2 oddylatowane segmenty budynku o odmiennym układzie konstrukcyjnym. Na rysunku 2 przedstawiono rzut (w poziomie najwyższej kondygnacji) natomiast na rysunku 3 przekrój pionowy segmentu zlokalizowanego pomiędzy osiami 1 i 6. W segmencie tym usytuowano salę kinową (pomiędzy osiami L i D) oraz salę teatralną (pomiędzy osiami A i C). Konieczność utrzymania dużych, wolnych od podpór przestrzeni oraz ograniczona wysokość zabudowy (16,0 m) wymusiła konieczność zastosowania cienkich i smukłych przegród poziomych. Wobec powyższego, zaprojektowano 3 przęsła płytowe sprężone cięgnami bez przyczepności (płyte

stropową nad salą teatralną w poz. 9,68 m – Pł-1 oraz dwa przęsła stropodachu: nad salą teatralną w poz. +14,08 m – Pł-2 i nad salą kinową w poz. +13,68 m – Pł-3).

2.2 Charakterystyka płyt sprężonych

Zaprojektowano i zrealizowano następujące płyty sprężone:

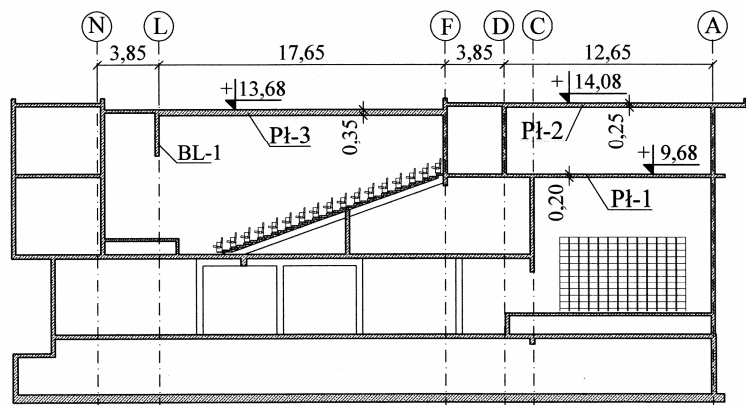
- 1) Płyta Pł-1 w poz. +9,68 m jest jednokierunkowo sprężonym przęsłem zlokalizowanym pomiędzy osiami 3 i 6 oraz A i C (rys. 4a). Rozpiętość płyty w osiach ścian wynosi 11,15 m. Grubość płyty wynosi 200 mm natomiast grubość ścian to 240 mm. Stosunek rozpiętości do grubości wynosi 55,8. Płytę sprężono cięgnami bez przyczepności w rozstawie 300 mm. Geometrie sprężenia przedstawiono na rysunku 4a.
- 2) Płyta Pł-2 w poz. 14,08 m to również jednokierunkowo sprężone przęsło zlokalizowane pomiędzy osiami 1 i 6 oraz A i D (Rys. 4b). Rozpiętość przęsła w osiach ścian wynosi 12,86 m natomiast grubość płyty 250 mm. Stosunek rozpiętości do grubości wynosi w tym przypadku 51,4. Płytę sprężono monostrandami w rozstawie 250 mm.
- 3) Płyta Pł-3 nad salą kinową w poz. +13,68 m to przęsło o największej rozpiętości (rys. 5). Rozpiętość płyty w osiach ścian (oraz belki BL-1 w osi L) wynosi 17,65×19,6 m a jej grubość to 350 mm. Stosunek rozpiętości do grubości (dla krótszej rozpiętości) wynosi 50,4. Płyta sprężona jest w dwóch kierunkach cięgnami bez przyczepności w rozstawie 220 mm.



Rysunek 2. Rzut segmentu budynku z płytami sprężonymi.



Rysunek 1. Wizualizacja CKA w Kozienicach (źródło: Pracownia Projektowa f-11).



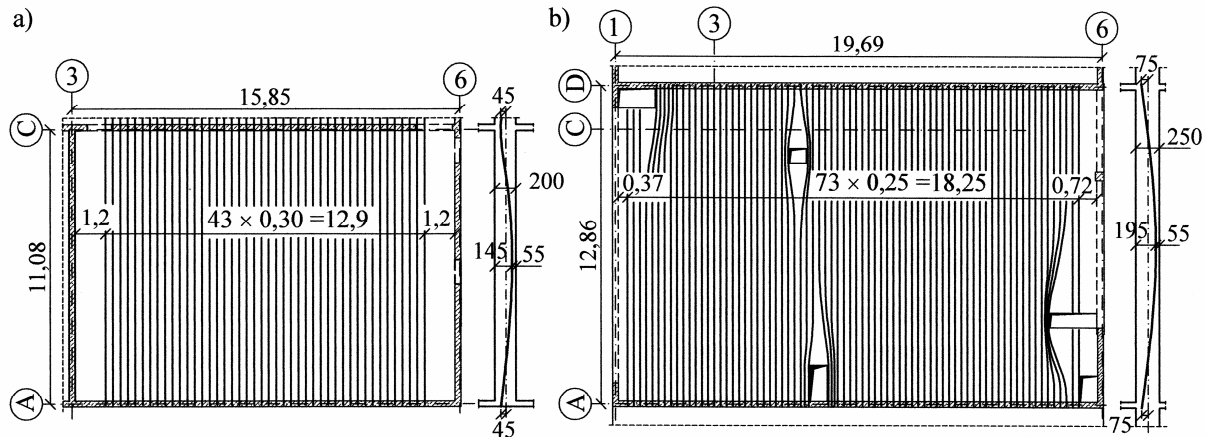
Rysunek 3. Przekrój A-A.

2.3 Beton

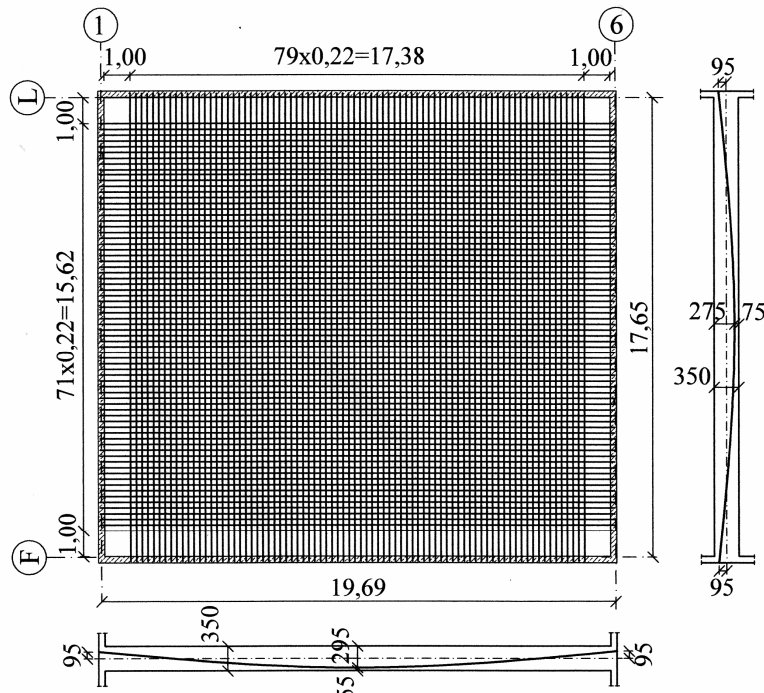
Do wykonania płyt sprężonych zastosowano beton klasy C35/45 na bazie cementu CEM I 52,5 N-HSA-NA w ilości 396 kg/m³ (w/c = 0,5). Do mieszanki betonowej o konsystencji S2/S3 zastosowano prócz piasku (0÷2 mm) grys dolomitowy o uziarnieniu 2÷16 mm. Wyniki badań laboratoryjnych pobranych próbek beton przedstawiono w punkcie 3.

2.4 Zbrojenie zwykłe

Zbrojenie zwykłe wszystkich płyt sprężonych zaprojektowano w postaci dolnej i górnej siatki z prętów $\phi 10$ mm co 150 mm.



Rysunek 4. Geometria i sprężenie płyt Pł-1 i Pł-2.



Rysunek 5. Geometria i sprężenie płyty Pł-3.

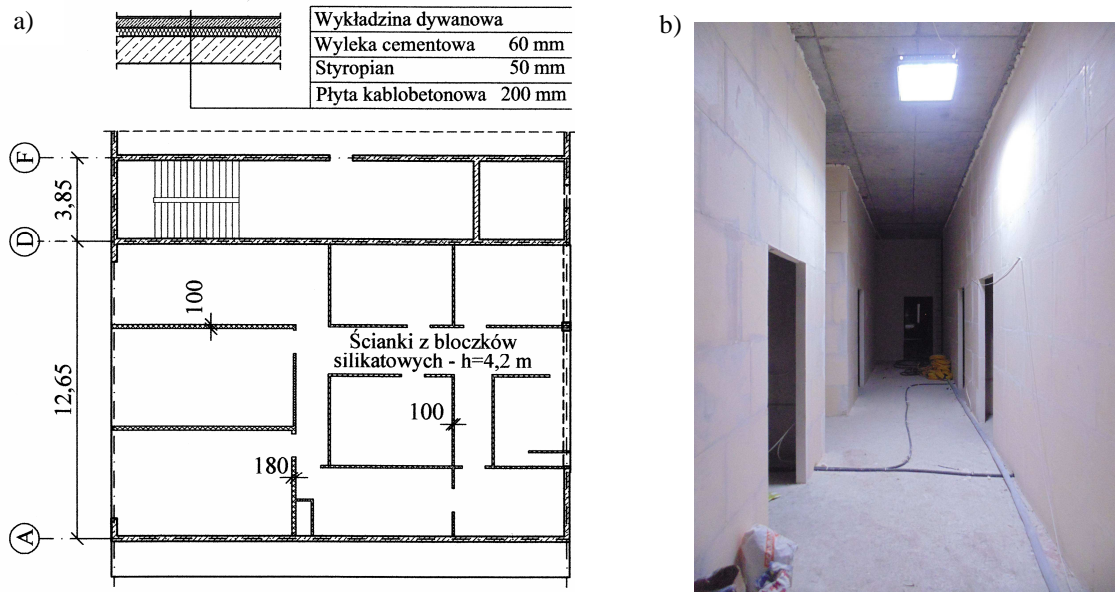
2.5 Ciężna sprężająca, siła sprężająca

Do sprężenia płyt użyto ciężnych bezprzyczepności (monostrandy) Y1860S7 o średnicy 15,7 mm (splot siedmiodrutowy $1 \times 5,7 + 6 \times 5$ mm, powierzchnia splotu – 143 mm^2 , wytrzymałość charakterystyczna – $f_{pk} = 1860 \text{ MPa}$). Sploty naciągano siłą 220 kN po 14 ± 1 dniach od zabetonowania.

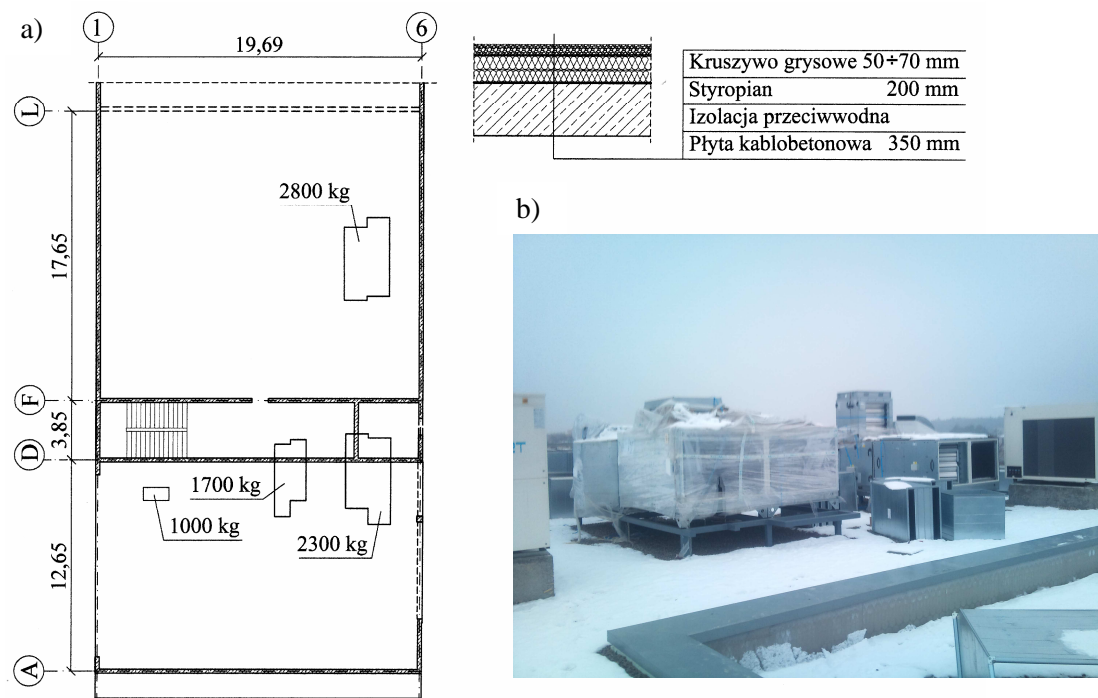
2.6 Obciążenie płyt

Na płycie Pł-1, ponad salę teatralną, zlokalizowano pomieszczenia dydaktyczne oraz pomieszczenia zaplecza szkoły muzycznej. Na płycie zaprojektowano i wykonano gęstą zabudowę ścian działowych z pustaków silikatowych grubości 180 i 100 mm. Wysokość ścian wynosi 4,2 m natomiast sumaryczne obciążenie równomiernie rozłożone to $2,6 \text{ kN/m}^2$. Układ ścian działowych oraz warstw na stropie wraz z widokiem zabudowanej przestrzeni na płycie przedstawiono na rysunku 6.

Rysunek 7 przedstawia natomiast układ warstw oraz schemat rozmieszczenia i wartości skupionych obciążeń na sprężonych płytach stropodachu.



Rysunek 6. Układ warstw i ścianek działowych na płycie Pł-1 w poz. +9,68 m (a), widok zabudowanej przestrzeni na płycie (b).



Rysunek 7. Warstwy oraz lokalizacja skupionych obciążeń od urządzeń na dachu (a), widok dachu 5 lutego 2015 (b).

3. Badania betonu

W trakcie betonowania płyty Pł-3 pobrano zestaw próbek betonowych (walce $\phi 150 \times 300$ mm), które posłużyły wyznaczeniu w laboratorium wytrzymałości i modułu sprężystości betonu w momencie sprężania (po 14 dniach od zabetonowania) i po 28 dniach dojrzewania. Wyniki badań przedstawiono w tabelicy 3.

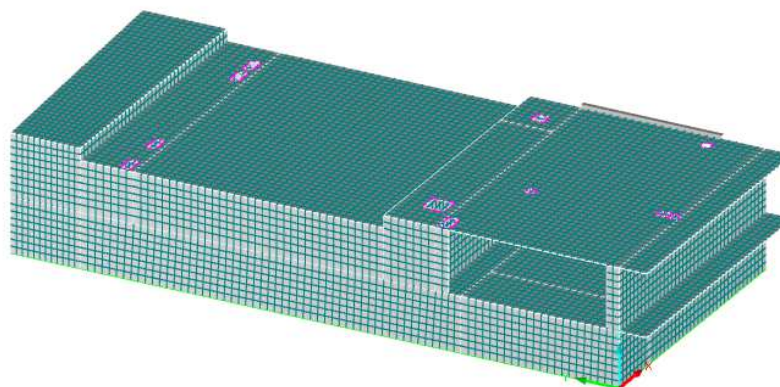
4. Obliczenia modelowe

W celu wyznaczenia teoretycznych wartości ugięć oraz momentów zginających w płytach sprężonych wykonano model fragmentu budynku w programie RFEM (rys. 8). Płyty stropowe

Tablica 3. Wyniki badań cech mechanicznych betonu płyty Pł-3

Cecha	Nr próbki			Wartość średnia
	1	2	3	
Po 14 dniach (sprężanie)				
Wytrzymałość na ściskanie [MPa]	27,4	30,1	31,7	29,7
Wytrzymałość na rozciąganie [MPa]	2,57	2,88	2,66	2,70
Moduł sprężystości [GPa]	29,2	30,8	30,5	30,2
Po 28 dniach				
Wytrzymałość na ściskanie [MPa]	34,4	33,3	33,6	33,8
Wytrzymałość na rozciąganie [MPa]	2,71	2,69	2,96	2,79
Moduł sprężystości [GPa]	33,4	35,2	30,3	33,0

zbudowano z powierzchniowych, prostokątnych elementów skończonych o wymiarach 0,5×0,5 m. Analiza prowadzona była przy założeniu liniowo-sprężystego modelu betonu, sprężenie modelowano obciążeniem zastępczym.



Rysunek 8. Model fragmentu budynku wykonany w programie RFEM.

4.1 Moduł sprężystości betonu

Powszechnie wiadomym jest, iż moduł sprężystości betonu w naturalnej konstrukcji jest niższy niż moduł wyznaczony na drobnowymiarowych próbkach laboratoryjnych [13], [14]. Tanabe w pracy [13] wykazał, iż stosunek modułu sprężystości betonu otrzymanego z badań in-situ do wartości otrzymanej z testów laboratoryjnych na próbkach walcowych zmienia się w czasie od wartości 0,77 do 0,55. W analizie obliczeniowej przyjęto 80% wartości modułu uzyskanego na walcach $\phi 150 \times 300$ mm stosownie do rozważanej sytuacji (wartość 14 lub 28 dniowa).

4.2 Obciążenie sprężeniem

Sprężenie modelowano zastępczym obciążeniem równomiernie rozłożonym skierowanym w górę oraz dodatkowo liniowym momentem zginającym na podporach, wynikającym z mimośrodowo kabla w miejscach kotwienia. Każde ciągnie zostało napięte siłą 220 kN. Wartość siły w ciągnach po

Tablica 4. Zestawienie obciążeń od sprężenia.

Płyta	Siła w ciągnie [kN]	Obciążenie zastępcze [kN/m ²]
Pł - 1	204	3,94
Pł - 2	212	5,96
Pł - 3	x	4,25
	y	4,85

x, y oznaczają odpowiednio w kierunku osi literowych i liczbowych

zakotwieniu wyznaczono korzystając z pomierzonych wydłużeń cięgien w wyniku ich naciągu. Założono w tym celu moduł sprężystości stali $E=190\text{GPa}$. Obciążenie zastępcze wyznaczono z równania trasy swobodnego zwisu ciężna. W tabelicy 4 zestawiono wartości wyznaczonych sił w ciężnach oraz obciążeń zastępczych.

4.3 Sytuacje obliczeniowe i wartości obciążeń

W analizie rozważono 3 sytuacje obliczeniowe:

- 1) sytuację po sprężeniu (początkową) – założono obciążenie od sprężenia po zakotwieniu zgodnie z tabelicą 4 oraz obciążenie ciężarem płyt (2400 kg/m^3 – tabela 5),
- 2) sytuację istniejącą (stan w dniu 5 lutego 2015 r. – na płytach zainstalowano projektowaną zabudowę, ciężkie warstwy wykończeniowe i urządzenia). Siła sprężająca w tej sytuacji została zmniejszona o 4% z uwagi na straty opóźnione (po 5,5 miesiącach od sprężenia). Przyjęte obciążenie zestawiono w tabelicy 5.
- 3) sytuację użytkową – siłę sprężającą po zakotwieniu zmniejszono o 7% (trwała wartość siły po stratach opóźnionych), przyjęto wszystkie obciążenia stałe wg tabelicy 5 oraz dodatkowo obciążenie użytkowe równe $2,5\text{kN/m}^2$ dla stropu (Pł-1) i $2,0\text{kN/m}^2$ dla dachu (Pł-2 i Pł-3).

Tabela 5. Obciążenia stałe działające na płyty sprężone.

	Rodzaj obciążenia	Wartość [kN/m^2]
Pł-1	Ciężar własny płyty	4,8
	Ścianki działowe	2,6
	Warstwy podłogi	1,3
Pł-2	Ciężar własny płyty	6,25
	Warstwy dachu	1,1
	Urządzenia na dachu	1,0
Pł-3	Ciężar własny płyty	8,5
	Warstwy dachu	1,1
	Urządzenia na dachu	0,5

4.4 Wyniki analizy

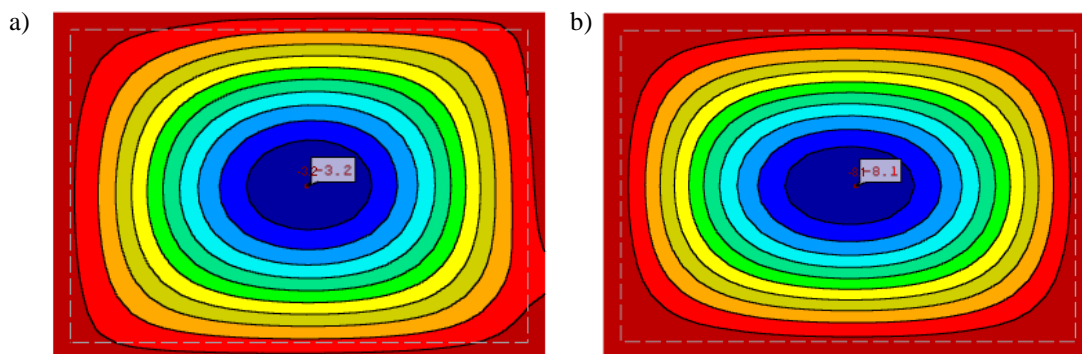
W tabelicy 6 przedstawiono wartości momentów zginających w środku rozpiętości płyt uzyskane w poszczególnych sytuacjach obliczeniowych zdefiniowanych w punkcie 4.3. Wszystkie podane momenty rozciągają włókna dolne, są wartościami wyznaczonymi dla obciążeń charakterystycznych. Wraz z wartościami momentów zestawiono wartości siły sprężającej oraz naprężeń górnych i dolnych w przekrojach. Można zauważyć wysoki poziom wprowadzonych naprężeń ściskających po sprężeniu na dolnej powierzchni oraz naprężenia rozciągające na górnej powierzchni wszystkich płyt.

Tabela 6. Siła sprężająca, momenty zginające i naprężenia w poszczególnych sytuacjach.

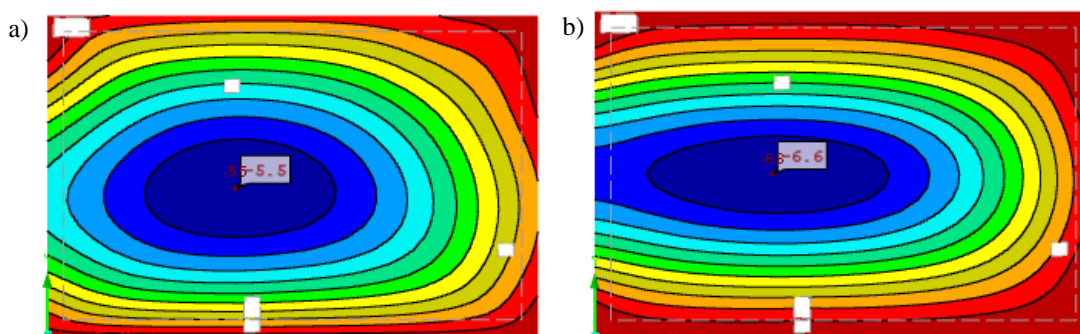
Płyta	A_{cs} [m^2]	W_{cs} [m^3]	e [m]	Sytuacja obliczeniowa									
				1) po sprężeniu			2) stan istniejący			3) użytkowa			
				P [kN/m]	M [kNm/m]	σ_g σ_d [MPa]	P [kN/m]	M [kNm/m]	σ_g σ_d [MPa]	P [kN/m]	M [kNm/m]	σ_g σ_d [MPa]	
Pł-1	0,205	0,007	0,045	680	5,4	-0,30 6,91	653	23,8	2,37 3,97	632	35,5	4,08 2,06	
Pł-2	0,256	0,011	0,07	848	8,0	-1,41 8,04	753	26,7	0,40 5,97	789	43,9	2,04 4,12	
Pł-3	x	0,356	0,021	0,12	850	17,0	-1,90 7,24	816	35,2	-0,93 6,06	791	57,2	0,19 4,78
	y	0,356	0,021	0,10	964	21,5	-0,81 6,23	925	42,8	0,26 4,94	897	70,4	1,61 3,42

x, y oznaczają odpowiednio w kierunku osi literowych i liczbowych

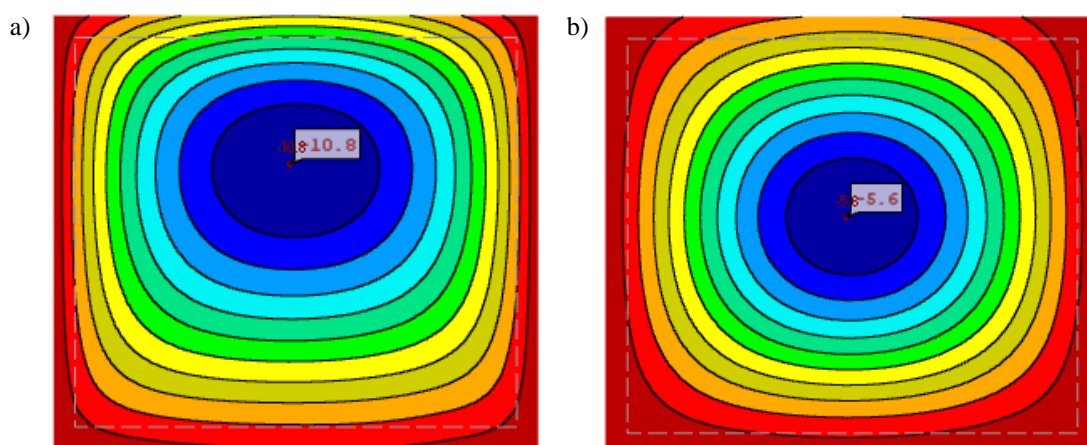
Na rysunkach 9 do 11 przedstawiono mapy ugięć poszczególnych płyt dla stanu istniejącego (5 lutego 2015r) w postaci dwóch składników. Wyznaczono oddzielnie ugięcia: 1 - dla sytuacji po sprężeniu (przyjęto obciążenie ciężarem płyt, sprężeniem po zakotwieniu cięgien oraz wartość modułu sprężystości betonu w chwili sprężania – po 14 dniach) – rysunki 9a, 10a i 11a; 2 - przyrost ugięcia od dodatkowych obciążeń na płytach (przyjęto ciężar wszystkich dodatkowych obciążeń występujących na płytach, odwrotne obciążenie sprężeniem odpowiadające spadkowi siły o 4% oraz wartość modułu sprężystości betonu po 28 dniach) – rysunki 9b, 10b i 11b. Całkowite obliczone ugięcie dla poszczególnych płyt przedstawiono w punkcie 6 na rysunkach 13 do 15.



Rysunek 9. Ugięcie płyty Pł-1 po sprężeniu (a), przyrost ugięcia od obciążenia dachu i spadku siły sprężającej (b).



Rysunek 10. Ugięcie płyty Pł-2 po sprężeniu (a), przyrost ugięcia od obciążenia dachu i spadku siły sprężającej (b).



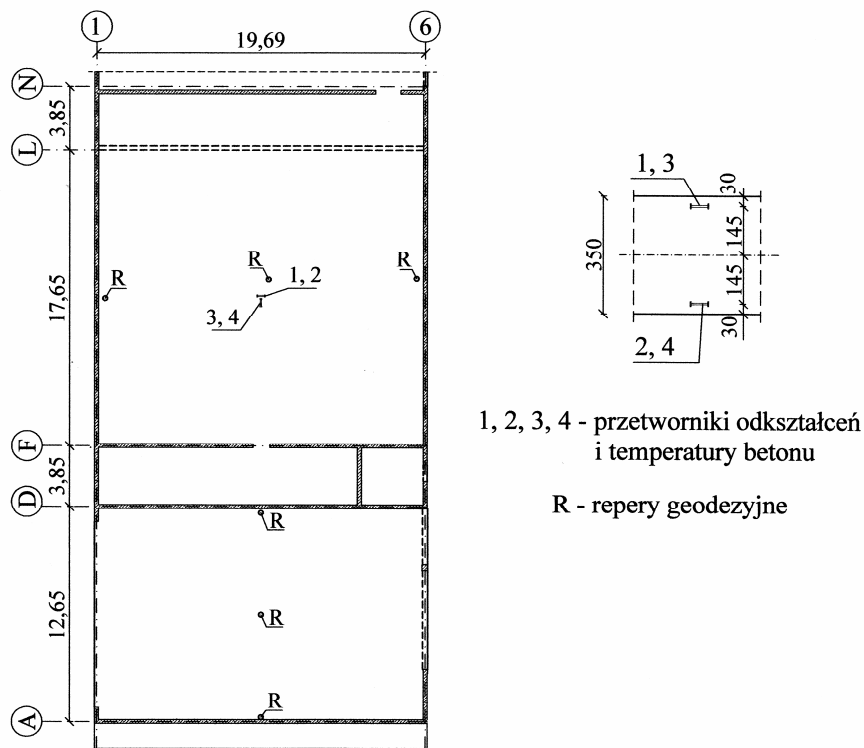
Rysunek 11. Ugięcie płyty Pł-3 po sprężeniu (a), przyrost ugięcia od obciążenia dachu i spadku siły sprężającej (b).

5. Badania in-situ

Z uwagi na prototypowość zastosowanych rozwiązań w warsztacie projektowym autorów (wysoki stosunek rozpiętości do grubości) płyty sprężone zostały poddane szczegółowym

obserwacjom i badaniom w trakcie realizacji. Prowadzony jest ciągły geodezyjny monitoring ugięć płyt. Pomiar zerowy wykonano przed wprowadzeniem sprężenia, kolejne pomiary wykonano po sprężeniu płyt i po usunięciu deskowań. Dalsze pomiary były i są wykonywane z częstością nie rzadziej niż raz w miesiącu. Pomiary ugięć realizowane są z wykorzystaniem trzech reperów dla każdej płyty (2 przy ścianach i jeden w środku przęsła – rys. 12), zainstalowanych w płycie i wyprowadzonych ponad wylewkę w stropie w poz. +9,68 m i ponad warstwę ocieplenia na dachu.

Dodatkowo, w środku rozpiętości przęsła płyty Pł-3 nad kinem zainstalowano 4 strunowe przetworniki odkształceń z pomiarem temperatury betonu, po 2 w każdym kierunku 30 mm od dolnej i górnej powierzchni stropu (rys. 12).



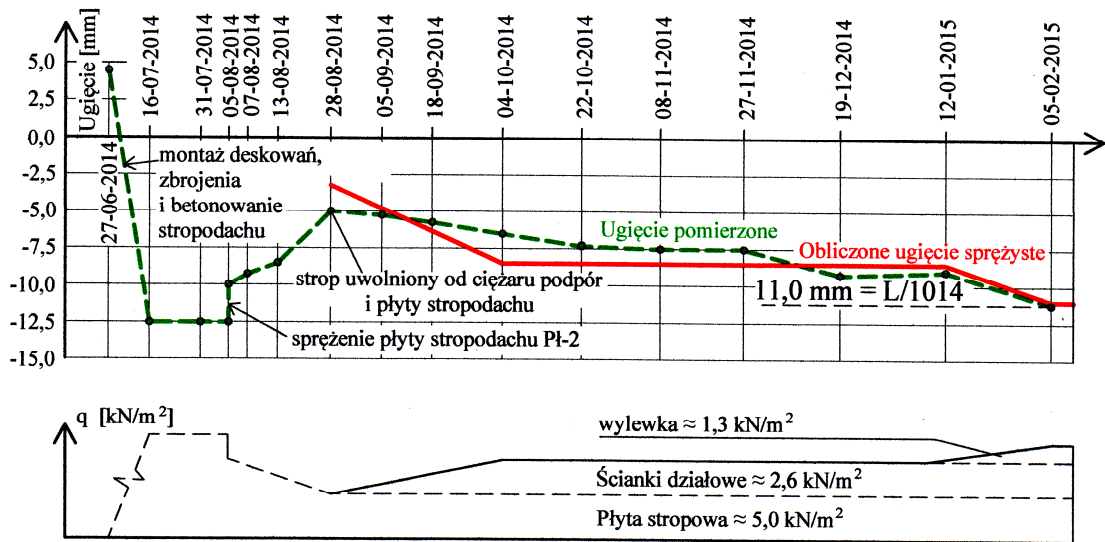
Rysunek 12. Lokalizacja reperów i czujników pomiarowych w płytach stropodachu.

6. Wyniki badań

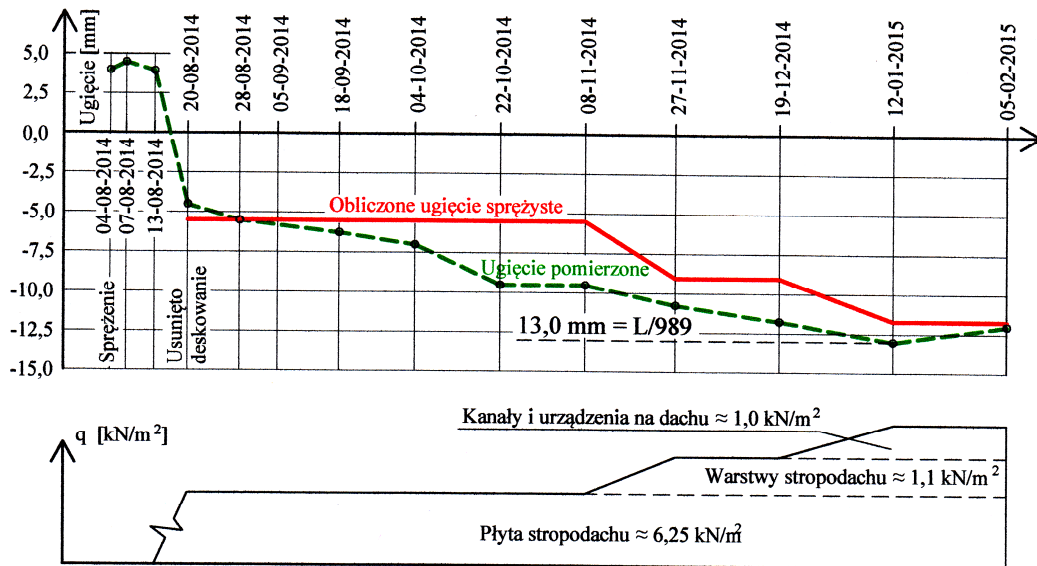
Na rysunkach 13, 14 i 15 przedstawiono pomierzone i obliczone ugięcia płyt sprężonych. Niewątpliwie najmniej znaną historię obciążenia posiada płyta stropowa Pł-1 w poz. +9,68 m (rys. 13). Płyta w wyniku sprężenia doznała wygięcia w górę o 4,5 mm. Na stropie tuż po sprężeniu zaczęto montować podpory i deskowanie płyty stropodachu. Wprawdzie został on podparty siatką podpór, jednak podparto go na podatnej konstrukcji widowni sceny teatralnej. Duża wysokość podpór i zbyt mała sztywność spowodowała również ich wyboczenie. Czynniki te sprawiły, iż pod ciężarem deskowań i mokrej płyty stropodachu o grubości 250 mm płyta Pł-1 doznała ugięcia o wartości 12,5 mm. Po sprężeniu płyty stropodachu 05.08.2014 r. ugięcie płyty Pł-1 zostało zredukowane o 2,5 mm do wartości 10 mm. Następnie w okresie do 28.08.2014 przy sukcesywnym demontażu podpór i deskowań na stropie płyta wracała w kierunku swojego pierwotnego położenia osiągając ostatecznie wartość ugięcia 5,0 mm. W okresie od 28.08.2014 do 05.02.2015 na stropie pojawiały się stopniowo dodatkowe obciążenia (ściany działowe, wylewka) zwiększając jej ugięcie do wartości 11,0 mm. Przy rozpiętości płyty wynoszącej 11,15 m stosunek ugięcia do rozpiętości wynosi 1/1014.

Rysunek 14 przedstawia ugięcia płyty stropodachu Pł-2. Płyta pod wpływem sprężenia doznała wygięcia w górę o wartość 4,5 mm, przy czym po całkowitym demontażu deskowań jej ugięcie w dół wynosiło już 4,5 mm. Wraz ze wzrostem obciążenia i upływem czasu ugięcie przyrosło do wartości 13,0 mm. W ostatnim okresie 24 dni pomiędzy 12.01 a 05.02.2015 płyta uniosła się o 1,0 mm osiągając ugięcie równe 12,0 mm. Największe ugięcie 13,0 mm stanowi 1/989 rozpiętości (12,86 m).

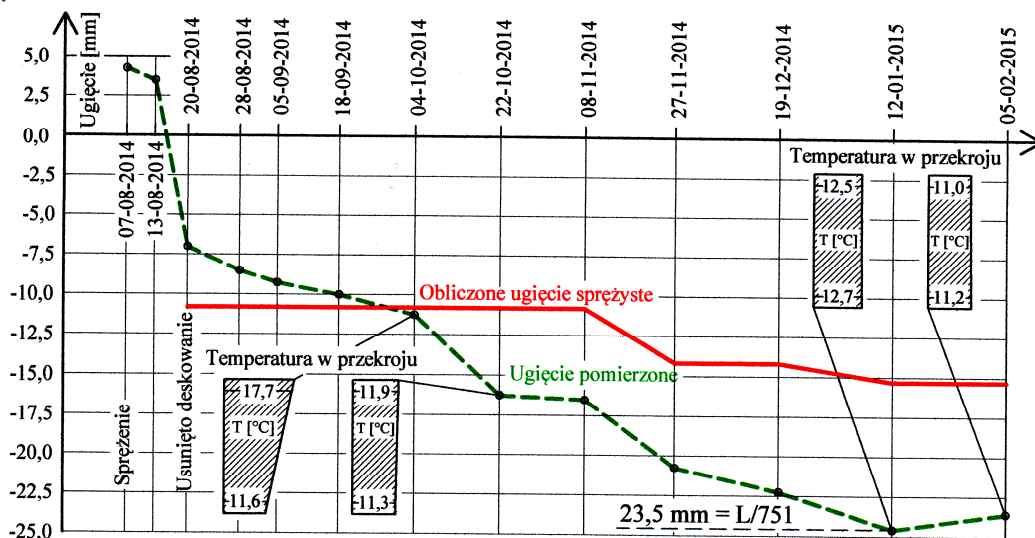
Ugięcia płyty Pł-3 największej rozpiętości, nad salą kinową, przedstawiono na rysunku 15.



Rysunek 13. Ugięcia pomierzone i obliczone z analizy sprężystej dla płyty Pł-1.



Rysunek 14. Ugięcia pomierzone i obliczone z analizy sprężystej dla płyty Pł-3.



Rysunek 15. Ugięcia pomierzone i obliczone z analizy sprężystej dla płyty Pł-3.

Płyta doznała wygięcia w górę od sprężenia o wartość 4,0 mm po czym po usunięciu deskowań ugięła się o 8,5 mm. Wraz z upływem czasu i wzrostem obciążenia płyta osiągnęła 12.01.2015 r. ugięcie 23,5 mm po czym powróciła w górę o 1,00 mm. Stosunek największego ugięcia do krótszej rozpiętości równej 17,65 m wynosi 1/751. Interesujący na wykresie jest wzrost ugięcia o wartość 5,0 mm pomiędzy 4 a 22 października 2014 r. Przyrost ten wystąpił przy niezmiennych obciążeniach płyty. Z pewnością nie był to przyrost ugięć wywołany reologią betonu i stali. Reologiczne przyrosty ugięć w poprzednich okresach pomiędzy pomiarami były znacznie mniejsze i zmniejszały się w czasie. Przyczyn tego zjawiska należy upatrywać w zmianie warunków termiczno-wilgotnościowych betonu. Na wykresie (rys. 15) przedstawiono dodatkowo wykresy temperatur na grubości płyty wyznaczone na podstawie temperatur zarejestrowanych na czujnikach 1 i 2. W okresie tym, przy niewielkiej zmianie temperatury betonu przy dolnej powierzchni płyty temperatura przy powierzchni górnej (30 mm poniżej powierzchni) spadła o 5,8°C. Przyczyn podniesienia obu płyt stropodachowych o 1,0 mm w okresie od 10.01 do 05.02.2015 trudno doszukać się na wykresach temperatur w przekroju. Być może jest to wywołane niewielką zmianą obciążeń związanych z warunkami zimowymi (oblodzenie i niewielka pokrywa śniegowa – rys 7) bądź ubytkiem istniejących wcześniej obciążeń montażowych. Może być to również wywołane czynnikami reologicznymi w betonie.

Uniesienie płyt podczas sprężania a następnie ich opadnięcie w dół po usunięciu podparcia świadczy o podatności podpór, na których oparto strop na czas betonowania.

Ze względu na fakt, iż obliczenia ugięć pochodzą z analizy sprężystej konstrukcji z wykorzystaniem metody obciążenia zastępczego, trudno doszukiwać się zgodności ugięć obliczonych i pomierzonych. Tej można oczekiwać jedynie w ugięciu doraźnym po sprężeniu. Zadowolającą zgodność uzyskano jedynie w przypadku płyty Pł-2 gdzie wartość zmierzona wyniosła 4,5 a wartość obliczona 5,5 mm. W przypadku płyty Pł-1 wartość obliczona jest znacznie mniejsza a w przypadku płyty Pł-3 znacznie większa od wartości rzeczywistej. Należy mieć jednak na uwadze, iż ugięcie po uwolnieniu płyt z podpór obarczone jest już pewnym składnikiem wynikającym z pęczania betonu, które zachodzi równocześnie z pojawiającym się w czasie obciążeniem i trudno jednoznacznie odseparować składniki doraźny i opóźniony ugięć. Warto również zwrócić uwagę na losowość zachowania się elementów z betonu, dotychczasowe badania stropów sprężonych wykazały, iż ugięcia powtarzalnych stropów w budynku, wykonywanych w podobnych warunkach mogą znacząco od siebie odbiegać [10].

7. Wnioski

W pracy przedstawiono wyniki realizacji trzech płyt sprężonych ciągłymi bez przyczepności o stosunku rozpiętości do grubości od 50,4 do 55,8. Przetawione wyniki obliczeń modelowych oparte są na szeregu założeń upraszczających i w związku z tym mogą być obarczone pewnym błędem wynikającym chociażby z niedostatecznej dokładności oszacowania modułu sprężystości czy siły sprężającej. Znacznie większy stopień pewności należy przypisać jednak wynikom ugięć, które zostały pomierzone z dokładnością $\pm 0,5$ mm. Wszystkie repery geodezyjne zostały zdublowane na wypadek ich uszkodzenia a pomiary prowadzone były na dwóch niezależnych układach reperów w celu wyeliminowania błędów związanych z ewentualnym uszkodzeniem reperów w trakcie budowy. Na podstawie uzyskanych wyników można stwierdzić, iż:

- Pomimo wykonania płyt o stosunkach rozpiętości do grubości znacznie przekraczających wartości zalecane, ugięcia przy prawie wszystkich projektowanych obciążeniach stałych (liczone od pozycji zabetonowania płyt), po 5,5 miesiącach od uwolnienia stropów z podpór są dalekie od wartości granicznych i wynoszą od $L/1014$ dla jednokierunkowej płyty grubości 200 mm i rozpiętości 11,15 m do $L/751$ dla dwukierunkowej płyty grubości 350 mm i rozpiętościach $17,65 \times 19,6$ m. Przyczyn małych ugięć można z pewnością upatrywać w wysokim poziomie dolnych naprężeń ściskających w płytach (tablica 6).
- W przypadku płyty Pł-3 ciężar własny stanowi 84 % wszystkich działających obecnie obciążeń. Można uznać, że prawie całe obciążenie działa już przez 5,5 miesiąca. Stosunek przyrostu ugięć w czasie do ugięć doraźnych wynosi $23,5/7 = 3,6$. Jest to wartość większa niż sugerowana przez *Concrete Society* [4] wartość 3,0. Należy uznać, iż nie jest to jeszcze ostateczne ugięcie trwałe.
- Możliwe jest projektowanie nawet jednokierunkowo sprężonych stropów opartych na krawędziach o stosunku rozpiętości do grubości nawet przekraczającym 55 przy wykorzystaniu zwykłego betonu towarowego, na tańszym kruszywie zwykłym,

Bibliografia

- [1] ACI Committee 318: Building code requirements for structural concrete (ACI 318M-02) and commentary (ACI318RM-02, September 2002, Farmington Hills.
- [2] AJDUKIEWICZ A., GOLONKA K.: Płaskie stropy sprężone kablami bez przyczepności – specyfika projektowania, *Inżynieria i Budownictwo*, nr 6/2007, 300-309.
- [3] BS8110, Structural use of concrete , part 1, Code of practice for design and construction, part 2, Code of practice for special circumstances, London 1997 and 1985, BSI.
- [4] Concrete Society: Post-tensioned concrete floors. Design Handbook, Technical Report No. 43, Wiltshire, UK, 2005, Cromwell Press.
- [5] DERKOWSKI W.: Monolityczny, lekki strop żebrowy, sprężony cięgnami bez przyczepności, *Materiały Budowlane*, nr 477, 5/2012, str. 6, 8 10.
- [6] Fib-Bulletin No. 31. Post-tensioning in building. Lausanne, February 2005.
- [7] FIP Recommendations for the Design of Flat Slabs in Post-tensioned Concrete. Cement & Concrete Association, Wexham Springs, 1980.
- [8] FIP Recommendations: Design of post-tensioned slabs and foundations, 1998. SETO, London, 1999.
- [9] GÓRSKI K., PIĘTKA M., ŚLUSARCZYK J.: Systemy sprężenia monolitycznego i analiza ich efektywności na przykładzie stropu budynku biurowego, *Materiały Budowlane*, nr 5/2012, str. 2-5,10.
- [10] KHAN S., WILLIAMS M.: Post-tensioned Concrete Floors, Bodmin-UK, 1995, Butterworth-Heinemann.
- [11] PAWŁOWSKI A. Z., CAŁA I.: Monolityczne stropy kablobetonowe, *Materiały Budowlane*, nr 435, 11/2008, 22-24.
- [12] PN-B-03264 Konstrukcje betonowe, żelbetowe i sprężone. Obliczenia statyczne i projektowanie, grudzień 2002.
- [13] PN-EN 1992-1-1 Eurokod 2: Projektowanie konstrukcji z betonu. Część 1-1: Reguły ogólne i reguły dla budynków, wrzesień 2008.
- [14] SOLECKI A., ANDRZEJEWSKI J., KANDYBOWICZ A.: Platinum Towers w Warszawie. Pierwszy w Polsce budynek z płytowymi stropami sprężonymi, *Inżynieria i Budownictwo*, nr 4/2008, 186-187.
- [15] SZYDŁOWSKI R.: Zastosowanie cięgien bez przyczepności przeciw powstawaniu rys w młodym betonie. Praca doktorska, listopad 2009, Politechnika Krakowska.
- [16] TANABE T.: Measurement of Thermal Stresses in Situ. Chapter 8 in *Prevention of Thermal Cracking in Concrete at Early Ages*, RILEM Report 15, edited by R. Springenschmid, London and New York, 1998, 231-254, E&FN Spon.

Where is a limit to the span-depth ratio for prestressed slabs ?

About the design and research of prestressed slab in cultural and art gallery in Koźienice

Abstract: Three post-tensioned concrete slabs have been designed and realized in building in Koźienice in last year. One of them is two-way slab of dimensions of $17,65 \times 19,5$ m and thickness of 350 mm, next of them are one-way slabs of span dimensions of 11,15 m and 12,86 m and thickness of 200 mm and 250 mm adequate. All the slabs are supported on the wall. The span-depth ratio is over recommended values and it is equal to 50,4; 55,8 and 51,4 adequate. The monitoring of deflections of all the slabs and concrete strains and temperatures one of them is carried out continuously. Additionally, the laboratory test of concrete samples obtained during concreting one of the slabs was carried out. This paper presents design assumptions, acting load and the results of computational analysis of the slabs in the three stages of working. The results of in-situ tests are contrasted with theoretical results. Based on the presented results the conclusions have been drawn.

Keywords: prestressed slab, slab deflection, slab tests, unbounded tendon.